

# Spline メッシュレス法を用いた平板の曲げ解析

大同工業大学 正員 ○水澤富作  
大同工業大学 後藤大輔

**1. はじめに** 4階の偏微分方程式で表される平板の曲げ解析では、等価な汎関数と要素内で仮定される区分的多項式に基づく有限要素法が多用されている。一方、要素分割に依存しない各種のメッシュレス法が開発され、平板解析への適用についても研究されている。この方法は、メッシュレス法である古典的なRitz-Galerkin法等と比較して、移動最小二乗法やParticle法に基づく重み付き残差離散化法<sup>1)</sup>である。

著者らは、微分方程式の数値的解析法として、Lagrange多項式を導関数の補間式に適用したDQ法を用いた平板の振動解析を行っている<sup>2)</sup>。この方法は、差分法と選点法を一般化したメッシュレス法であるが、係数行列が非対称になり、また離散点の取り方により、解の不安定性が現れる。

本研究では、spline関数を基底関数に仮定する選点最小二乗法<sup>3)</sup>を用いた平板の曲げ解析を行い、解の収束性や解析精度に与えるスプライン次数や離散点の数などの影響について検討している。

**2. 解析手法** 4階の偏微分方程式で表される平板の曲げ問題は、Levy法を適用すれば、4階の常微分方程式で表される。ここでは、spline関数を基底関数に仮定した選点最小二乗法の定式化を示す。

1次元の線形境界値問題は、微分演算子  $L, B$  を用いて、次式で表される。

$$L(w) = q(x) \quad \text{領域 } [0 \leq x \leq a], \quad B(w) = g(x) \quad \text{境界 } (x=0, x=a) \quad (1)$$

ここで、 $w$  は変位であり、 $q(x), g(x)$  は、与えられた関数である。したがって、領域残差  $R_L$  と境界残差  $R_B$  は、それぞれ次式で表される。  $R_L = L(w) - q(x), \quad R_B = B(w) - g(x)$  (2)

これらの残差を領域内の選点 ( $N$  個) と境界点 ( $M$  個) について求めると、

$$R_L(x_i) = L(w_i) - q(x_i); \quad i = 1, 2, \dots, N, \quad R_B(x_{N+j}) = B(w_{N+j}) - g(x_{N+j}); \quad j = 1, 2, \dots, M \quad (3)$$

で示される。変位関数  $w$  は、B-spline関数を用いて、次式で仮定する。

$$w = \sum_{m=1}^N C_m N_{m,k}(x); \quad N = m_x + k - 2 \quad (4)$$

ここで、 $N_{m,k}(x)$  は、正規化された B-spline 関数であり、 $m_x$  と  $k-1$

は、それぞれ区分点の数と spline 次数である。また、 $C_m$  は、未定係数

である。したがって、式 (4) を式 (3) に代入して、これをマトリックス表示すると、次式になる。 $\{R\} = \{R_L\} + \{R_B\} = [Z]\{C\} - \{P\}$  (5)

係数マトリックス  $[Z]$  の大きさは、 $N \times (m_x + M)$  になり、また  $N \leq (m_x + M)$  になるので、 $[Z]$  は長方形マトリックスになる場合もある。また、 $\{C\}^T = \{C_1, C_2, \dots, C_N\}$  である。

式 (5) で与えられる残差の二乗誤差  $I_d$  は、最小二乗法を適用すると、次式で与えられる。

$$I_d = \sum_{i=1}^{M_x} [R_L(C_m, x_i)]^2 + \sum_{i=M_x+1}^{M_x+M} [R_B(C_m, x_i)]^2 = \{R\}^T \{R\} \quad (6)$$

したがって、式 (6) を極値化すれば、次式が導ける。

$$\frac{\partial I_d}{\partial \{C\}} = [Z]^T [Z] \{C\} - [Z]^T \{P\} = [K] \{C\} - \{F\} = 0 \quad (7)$$

ここで、 $[K] = [Z]^T [Z]$  は、対称マトリックスであり、その大きさは、 $N \times N$  になる。

図-1に示すように、 $x$  軸に平行な2辺が単純支持された長方形板の支配方程式は、無次元直交座標系 ( $\xi = x/a, \eta = y/b$ ) を用いて、次式で与えられる。

$$\frac{\partial^4 w}{\partial \xi^4} + 2(a/b)^2 \frac{\partial^4 w}{\partial \xi^2 \partial \eta^2} + (a/b)^4 \frac{\partial^4 w}{\partial \eta^4} = \frac{qa^4}{D} \quad (8)$$

一方向にフーリエ級数展開する Levy 法を適用すると、変位関数  $w$  と分布荷重  $q$  は、次式で仮定される。

$$w(\xi, \eta) = \sum_{n=1}^{NN} \sum_{m=1}^N C_m N_{m,k}(\xi) \sin(n\pi\eta), q = \sum_{n=1}^{NN} q \sin(n\pi\eta) \quad (9)$$

ここで、 $NN$  は級数の項数である。したがって、式(9)を式(8)に代入すれば、支配方程式は、

$$\sum_{m=1}^N C_m [N_{m,k}^{(4)}(\xi) + 2(a/b)^2(-n^2\pi^2)N_{m,k}^{(2)}(\xi) + (a/b)^4(n\pi)^4 N_{m,k}(\xi)] = (4q/n\pi)a^4/D \quad (10)$$

で表される。ただし、 $N_{m,k}^{(j)}(\xi) = d^j N_{m,k}(\xi) / d\xi^j$  である。

また、y 軸に平行な 2 つの辺には、単純支持( $w = 0, M_x = 0$ )、

固定 ( $w = 0, \partial w / \partial x = 0$ ) やび自由 ( $M_x = 0, V_x = 0$ ) の境界条件が導入される。式(9)を用いて書き換えると、次式になる。

$$(i) \text{ 単純支持辺} : \sum_{m=1}^N C_m N_{m,k}(\xi) = 0,$$

$$\sum_{m=1}^N C_m [N_{m,k}^{(2)}(\xi) + \nu(a/b)^2(-n^2\pi^2)N_{m,k}(\xi)] = 0$$

$$(ii) \text{ 固定辺} : \sum_{m=1}^N C_m N_{m,k}(\xi) = 0, \sum_{m=1}^N C_m N_{m,k}^{(1)}(\xi) = 0$$

$$\sum_{m=1}^N C_m [N_{m,k}^{(2)}(\xi) + \nu(a/b)^2(-n^2\pi^2)N_{m,k}(\xi)] = 0,$$

$$(iii) \text{ 自由辺} : \sum_{m=1}^N C_m [N_{m,k}^{(3)}(\xi) + (2-\nu)(a/b)(-n^2\pi^2)N_{m,k}^{(1)}(\xi)] = 0$$

### 3. 数値計算例および考察

表-1 には、他の相対する 2 辺が単純支持、自由および固定に仮定し、等分布荷重を受ける正方形板の中央点でのたわみと曲げモーメントの収束性に与える選点(サンプリング点) $m_x$  と spline 次数  $k-1$  の影響が示してある。ここで、選点  $m_x$  は、5 から 21 まで変化させ、また spline 次数  $k-1$  は、5 次と 6 次に仮定している。また、比較のために、Levy 解も示してある。また、図-2 には、周辺単純支持された板のたわみの収束性に与える spline 次数  $k-1$  の影響が示してある。

これより、6 次の spline 関数を用いると、少ない選点でも、安定した収束性が得られている。また、5 次の spline 関数を用いても、選点の増大とともに、一様な収束状態が得られる。また、収束値は、境界条件に関わらず、厳密解と一致した結果が示されている。

**4. まとめ** 本文で得られた結果は、以下のように纏められる。1) spline 選点最小二乗法は、メッシュレス法の 1 手法であり、数値積分を必要とせず、また対称な係數マトリックスが得られるので、数値安定性の高い解析結果が得られている。2) 支配方程式に含まれる導関数の最高次数に 2 を足した次数の spline 関数を適用すれば、安定した収束性と高い解析精度が示される。

**参考文献** 1) Belytschko, T. et. al.: Comput. Meth. Appl. Mech. Eng., Vol. 139, pp. 3-47, 1996. 2) 近藤、高木、水澤：応用力学論文集, Vol. 3, pp. 193-201, 2000. 3) Mizusawa,T. and Kajita.T, Int. J. Num. Meth. Eng., Vol. 16, pp. 897-907, 1982.

表-1 他の2辺が任意の境界条件を有する正方形板の中央点のたわみと曲げモーメントの収束性と精度比較 :  $a/b=1$

Boundary conditions	$k-1$	$m_x$	W	$M_x$	$M_y$
		$10^{-3} qa^4/D$	$10^{-2} qa^2$	$10^{-2} qa^2$	$10^{-2} qa^2$
SS-SS	5	4.070	4.798	4.798	
	9	4.063	4.789	4.789	
	6	4.062	4.789	4.789	
	17	4.062	4.789	4.789	
	21	4.062	4.789	4.789	
	5	4.236	4.979	4.979	
	9	4.102	4.832	4.832	
	5	4.080	4.808	4.808	
Levy 解	17	4.072	4.800	4.800	
	21	4.069	4.796	4.796	
	4.062	4.789	4.789		
	5	1.306	2.709	1.226	
	9	1.309	2.708	1.226	
	6	1.309	2.708	1.225	
	17	1.309	2.708	1.225	
	21	1.309	2.708	1.225	
SS-FF	5	1.336	2.744	1.249	
	9	1.316	2.716	1.231	
	5	1.312	2.711	1.228	
	17	1.310	2.710	1.227	
	21	1.310	2.709	1.226	
	Levy 解	1.309	2.710	1.225	
	5	$10^{-3} qa^4/D$	$10^{-2} qa^2$	$10^{-2} qa^2$	
	9	1.928	3.402	2.586	
SS-CC	6	1.917	3.325	2.439	
	13	1.917	3.325	2.439	
	17	1.917	3.325	2.439	
	21	1.917	3.325	2.439	
	5	1.529	2.652	2.344	
	9	1.951	3.384	2.484	
	5	1.932	3.349	2.457	
	17	1.925	3.338	2.449	
Levy 解	21	1.922	3.333	2.445	
	1.92	3.32	2.44		

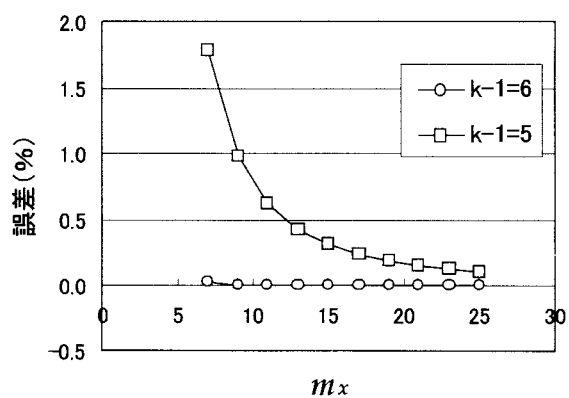


図-2 板中央点のたわみの収束性に与える spline 次数の影響 :  $a/b=1, SS-SS$